

# Sharp Threshold Phenomena in Statistical Physics

André Victor Ribeiro Amaral<sup>†</sup>

Orientador: Roger William Câmara Silva

Universidade Federal de Minas Gerais — ICEX, Departam. de Estatística.

(09/12/2019)

<sup>†</sup> E-mail: avramaral@gmail.com

# Sumário

Introdução

Como provar que  $(f_k)_{k \in \mathbb{N}}$  passa por *sharp threshold*

Fórmula de Russo-Margulis

Inequação de *sharp threshold*

Desigualdade de O'Donnell-Saks-Schramm-Servedio

Aplicações em percolação Bernoulli ( $\mathbb{Z}^d$ )

Ponto crítico para percolação em  $\mathbb{Z}^2$

*Sharpness* da transição de fase para percolação Bernoulli em  $\mathbb{Z}^d$

Referências

# Introdução

Em modelos com componentes estocásticas, diz que um sistema aleatório **finito** passa por *sharp threshold* se o seu comportamento muda “rapidamente” como resultado de uma pequena perturbação dos parâmetros que governam sua estrutura.

# Introdução

Em modelos com componentes estocásticas, diz que um sistema aleatório **finito** passa por *sharp threshold* se o seu comportamento muda “rapidamente” como resultado de uma pequena perturbação dos parâmetros que governam sua estrutura.

## Observação

O espaço de probabilidade  $(\Omega, \mathcal{F}, \mathbb{P}_p)$  será tal que  $\Omega = \{0, 1\}^n$ , para  $n \in \mathbb{N}$ ,  $\mathcal{F} = \sigma(\text{conjuntos cilíndricos})$  e  $\mathbb{P}_p$  é a medida produto Bernoulli  $\prod_{i \in [n]} \mu_i$ , com  $\mu_i(\omega_i = 1) = p$  e  $\mu_i(\omega_i = 0) = 1 - p$ ; onde  $[n] = \{1, \dots, n\}$ .

# Introdução

Seja  $f_k : \Omega \longrightarrow \{0, 1\}$  sequência de funções Booleanas, então defina  $F_k(p) := \mathbb{E}_p(f_k(\omega))$ ,  $\forall k \in \mathbb{N}$ . Nesse caso,

$$F_k(p) = \sum_{\omega \in \Omega} f_k(\omega) p^{\sum_{i \in [n]} \omega_i} (1 - p)^{\sum_{i \in [n]} 1 - \omega_i}. \quad (1)$$

# Introdução

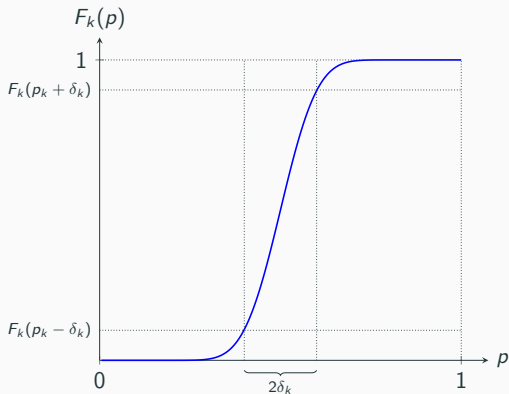
Seja  $f_k : \Omega \longrightarrow \{0, 1\}$  sequência de funções Booleanas, então defina  $F_k(p) := \mathbb{E}_p(f_k(\omega))$ ,  $\forall k \in \mathbb{N}$ . Nesse caso,

$$F_k(p) = \sum_{\omega \in \Omega} f_k(\omega) p^{\sum_{i \in [n]} \omega_i} (1 - p)^{\sum_{i \in [n]} 1 - \omega_i}. \quad (1)$$

## Definição 1

Uma sequência de funções Booleanas crescentes  $(f_k)_{k \in \mathbb{N}}$  passa por *sharp threshold* em  $(p_k)_{k \in \mathbb{N}}$  se existe  $(\delta_k)_{k \in \mathbb{N}}$ , com  $\lim_{k \rightarrow +\infty} \delta_k = 0$ , tal que  $F_k(p_k - \delta_k) \longrightarrow 0$  e  $F_k(p_k + \delta_k) \longrightarrow 1$ , quando  $k \rightarrow +\infty$ .

# Introdução



**Figura 1:** Esboço de  $F_k(p) = \mathbb{E}_p(f_k(w))$  para algum  $k$  “grande”, tal que  $(f_k)_{k \in \mathbb{N}}$  passa por *sharp threshold*.

# Introdução

## Exemplo 1

Seja  $f_k(\omega) = \mathbb{I}_{\{\omega_1=1\}}(\omega)$ ,  $\forall k \in \mathbb{N}$ . Nesse caso,  $F_k(p) = p$ ; dessa forma,  $(f_k)_{k \in \mathbb{N}}$  **não** passa por *sharp threshold*.



# Introdução

## Exemplo 1

Seja  $f_k(\omega) = \mathbb{I}_{\{\omega_1=1\}}(\omega)$ ,  $\forall k \in \mathbb{N}$ . Nesse caso,  $F_k(p) = p$ ; dessa forma,  $(f_k)_{k \in \mathbb{N}}$  **não** passa por *sharp threshold*.

(Modelo de Erdős-Rényi) Seja  $G(n, p)$  grafo aleatório, então:

## Exemplo 2 (Conectividade do grafo)

Seja  $A_k = \{G(k, p) \text{ é conectado}\}$ ; então  $(\mathbb{I}_{A_k})_{k \in \mathbb{N}}$  passa por *sharp threshold* em  $p_k = \frac{\log k}{k}$ .

# Introdução

## Exemplo 1

Seja  $f_k(\omega) = \mathbb{I}_{\{\omega_1=1\}}(\omega)$ ,  $\forall k \in \mathbb{N}$ . Nesse caso,  $F_k(p) = p$ ; dessa forma,  $(f_k)_{k \in \mathbb{N}}$  **não** passa por *sharp threshold*.

(Modelo de Erdős-Rényi) Seja  $G(n, p)$  grafo aleatório, então:

## Exemplo 2 (Conectividade do grafo)

Seja  $A_k = \{G(k, p) \text{ é conectado}\}$ ; então  $(\mathbb{I}_{A_k})_{k \in \mathbb{N}}$  passa por *sharp threshold* em  $p_k = \frac{\log k}{k}$ .

## Exemplo 3 (Exist. de comp. conectada “grande”)

Seja  $B_k = \{\exists \text{ comp. em } G(k, p) \text{ com tam. maior que } r_k\}$ , tal que  $\log k \ll r_k \ll k$ ; então  $(\mathbb{I}_{B_k})_{k \in \mathbb{N}}$  passa por *sharp threshold* em  $p_k = \frac{1}{k}$ .

# Como provar que $(f_k)_{k \in \mathbb{N}}$ passa por *sharp threshold*

Seja  $f : \Omega \longrightarrow \{0, 1\}$ , então defina:

$$\nabla_i f(\omega) := f(\omega) - f(\text{Flip}_i(\omega)),$$

onde

$$\text{Flip}_i(\omega)_j = \begin{cases} \omega_j & \text{para } j \neq i \\ 1 - \omega_j & \text{para } j = i. \end{cases}$$

# Como provar que $(f_k)_{k \in \mathbb{N}}$ passa por *sharp threshold*

Seja  $f : \Omega \longrightarrow \{0, 1\}$ , então defina:

$$\nabla_i f(\omega) := f(\omega) - f(\text{Flip}_i(\omega)),$$

onde

$$\text{Flip}_i(\omega)_j = \begin{cases} \omega_j & \text{para } j \neq i \\ 1 - \omega_j & \text{para } j = i. \end{cases}$$

Além disso, defina a **influência** do bit  $i$  como

$$\text{Inf}_i(f(\omega)) := \mathbb{E}_p(|\nabla_i f(\omega)|),$$

que é o mesmo que  $\text{Inf}_i(f(\omega)) = \mathbb{P}_p(f(\omega) \neq f(\text{Flip}_i(\omega)))$ .

# Fórmula de Russo-Margulis

## Teorema 1 (Fórmula de Russo-Margulis)

Para  $f : \Omega \longrightarrow \{0, 1\}$  crescente, vale:

$$\frac{d}{dp} \mathbb{E}_p(f(\omega)) = F'(p) = \sum_{i \in [n]} \text{Inf}_i(f(\omega)).$$

# Fórmula de Russo-Margulis

## Teorema 1 (Fórmula de Russo-Margulis)

Para  $f : \Omega \longrightarrow \{0, 1\}$  crescente, vale:

$$\frac{d}{dp} \mathbb{E}_p(f(\omega)) = F'(p) = \sum_{i \in [n]} \text{Inf}_i(f(\omega)).$$

Nesse sentido, ser for possível provar cotas do tipo:

$$F'(p) \geq C \mathbb{V}_p(f(\omega)), \quad (2)$$

para constante  $C$  “grande”, então vale que, tomando  $p$  tal que  $F(p) = \frac{1}{2}$ ,  $\forall \delta > 0$ ,

$$F(p - \delta) \leq e^{-\delta C} \quad \text{e} \quad F(p + \delta) \geq 1 - e^{-\delta C};$$

i.e., a seq.  $(f_k)_{k \in \mathbb{N}}$  associada passa por *sharp threshold*.

# Inequação de *sharp threshold*

## Teorema 2 (Talagrand)

Existe constante  $c > 0$  tal que,  $\forall p \in [0, 1]$  e  $n \in \mathbb{N}$ , vale que, para qualquer função Booleana crescente  $f : \Omega \rightarrow \{0, 1\}$ ,

$$\mathbb{V}_p(f(\omega)) \leq c \ln \frac{1}{p(1-p)} \sum_{i \in [n]} \frac{\ln f_i(f(\omega))}{\ln \frac{1}{\ln f_i(f(\omega))}}.$$

# Inequação de *sharp threshold*

## Teorema 2 (Talagrand)

Existe constante  $c > 0$  tal que,  $\forall p \in [0, 1]$  e  $n \in \mathbb{N}$ , vale que, para qualquer função Booleana crescente  $f : \Omega \rightarrow \{0, 1\}$ ,

$$\mathbb{V}_p(f(\omega)) \leq c \ln \frac{1}{p(1-p)} \sum_{i \in [n]} \frac{\text{Inf}_i(f(\omega))}{\ln \frac{1}{\text{Inf}_i(f(\omega))}}.$$

De maneira equivalente, deve existir alguma influência  $i$  com

$$\frac{\text{Inf}_i(f(\omega))}{\ln \frac{1}{\text{Inf}_i(f(\omega))}} \geq \frac{c_p}{n} \mathbb{V}_p(f(\omega)), \quad (3)$$

onde  $c_p = \left( c \ln \frac{1}{p(1-p)} \right)^{-1}$ .



# Inequação de *sharp threshold*

Continuando, a Inequação 3 implica em: existe pelo menos uma influência tal que

$$\text{Inf}_i(f(\omega)) > c_p \frac{\ln n}{n} \mathbb{V}_p(f(\omega)),$$

com  $c_p$  possivelmente modificado por um fator multiplicador.

# Inequação de *sharp threshold*

Continuando, a Inequação 3 implica em: existe pelo menos uma influência tal que

$$\text{Inf}_i(f(\omega)) > c_p \frac{\ln n}{n} \mathbb{V}_p(f(\omega)),$$

com  $c_p$  possivelmente modificado por um fator multiplicador.

Por fim, fazendo referência à Inequação 2, o Teorema 2 pode ser traduzido como

$$F'(p) > c_p \ln \frac{1}{\max_i(\text{Inf}_i(f(\omega)))} \mathbb{V}_p(f(\omega));$$

ou seja, se  $C = c_p \ln \frac{1}{\max_i(\text{Inf}_i(f(\omega)))}$  é “grande”, então a seq.  $(f_k)_{k \in \mathbb{N}}$  associada passa por *sharp threshold*.

# Inequação de *sharp threshold*

## Teorema 3

Existe constante  $c > 0$  tal que,  $\forall p \in [0, 1]$  e  $n \in \mathbb{N}$ , vale que, para qualquer função Booleana crescente  $f : \Omega \longrightarrow \{0, 1\}$  que é *simétrica sob um grupo  $\mathcal{G}$  agindo transitivamente sobre  $[n]^1$* ,

$$F'(p) \geq c \ln(n) \mathbb{V}_p(f(\omega)).$$

---

<sup>1</sup>Dado um conjunto  $\Lambda$ ,  $(\Sigma, \psi)$  é grupo simétrico  $\mathcal{G}$  se  $\Sigma = \{\sigma; \sigma : \Lambda \longrightarrow \Lambda \text{ é bijeção}\}$  e  $\psi : \Sigma \times \Sigma \longrightarrow \Sigma$ , com  $(\sigma_1, \sigma_2) \mapsto \sigma_1 \circ \sigma_2$ ; nesse caso,  $f$  é dita *simétrica sob  $\mathcal{G}$* , se  $f \circ \sigma = f$ ,  $\forall \sigma \in \mathcal{G}$ . Além disso,  $\mathcal{G}$  age *transitivamente sobre  $\Lambda$*  se, para todo par  $\lambda_1$  e  $\lambda_2$  em  $\Lambda$ , existe  $\sigma \in \mathcal{G}$ , tal que  $\sigma(\lambda_1) = \lambda_2$ .

# Inequação de *sharp threshold*

## Teorema 3

Existe constante  $c > 0$  tal que,  $\forall p \in [0, 1]$  e  $n \in \mathbb{N}$ , vale que, para qualquer função Booleana crescente  $f : \Omega \longrightarrow \{0, 1\}$  que é *simétrica sob um grupo  $\mathcal{G}$  agindo transitivamente sobre  $[n]^1$* ,

$$F'(p) \geq c \ln(n) \mathbb{V}_p(f(\omega)).$$

Nesse contexto, para todo par  $i_1$  e  $i_2 \in [n]$ , vale que:

$$\text{Inf}_{i_1}(f) = \text{Inf}_{i_1}(f \circ \sigma) = \text{Inf}_{i_2}(f).$$

---

<sup>1</sup>Dado um conjunto  $\Lambda$ ,  $(\Sigma, \psi)$  é grupo simétrico  $\mathcal{G}$  se  $\Sigma = \{\sigma; \sigma : \Lambda \longrightarrow \Lambda \text{ é bijeção}\}$  e  $\psi : \Sigma \times \Sigma \longrightarrow \Sigma$ , com  $(\sigma_1, \sigma_2) \mapsto \sigma_1 \circ \sigma_2$ ; nesse caso,  $f$  é dita *simétrica sob  $\mathcal{G}$* , se  $f \circ \sigma = f$ ,  $\forall \sigma \in \mathcal{G}$ . Além disso,  $\mathcal{G}$  age *transitivamente sobre  $\Lambda$*  se, para todo par  $\lambda_1$  e  $\lambda_2$  em  $\Lambda$ , existe  $\sigma \in \mathcal{G}$ , tal que  $\sigma(\lambda_1) = \lambda_2$ .

# Inequação de *sharp threshold*

Mais uma vez, fazendo referência à Inequação 2, e tomando  $C = c \ln(n)$ , é possível dizer, então, que  $(f_k)_{k \in \mathbb{N}}$  passa por *sharp threshold* sempre que forem satisfeitas as hipóteses do Teorema 3.

# Inequação de *sharp threshold*

Mais uma vez, fazendo referência à Inequação 2, e tomando  $C = c \ln(n)$ , é possível dizer, então, que  $(f_k)_{k \in \mathbb{N}}$  passa por *sharp threshold* sempre que forem satisfeitas as hipóteses do Teorema 3.

## Exemplo 4 (Propriedades\* monótonas em grafos)

Considerando o Modelo de Erdős-Rényi, toda sequência  $(\mathbb{I}_{A_k})_{k \in \mathbb{N}}$  de funções indicadoras de propriedades crescentes de grafos; i.e., propriedades que dependem da ocorrência de eventos crescentes  $A_k$ , passa por *sharp threshold*.

Perceba que os Exemplos 2 e 3 são casos particulares do Exemplo 4.

# Desigualdade de O'Donnel-Saks-Schramm-Servedio

## Definição 2 (Algoritmo)

Dados uma  $n$ -upla  $x = (x_1, \dots, x_n)$  e um  $t \leq n$ , com  $t \in \mathbb{N}$ , defina  $x_{[t]} := (x_1, \dots, x_t)$  e  $\omega_{x_{[t]}} := (\omega_{x_1}, \dots, \omega_{x_t})$ . Um *algoritmo*  $\mathcal{T}$  é uma tripla  $(i_1, \psi_t, t \leq n)$  que toma  $\omega \in \Omega$  como entrada e devolve uma sequência ordenada  $(i_1, \dots, i_n)$  construída indutivamente da seguinte forma: para  $2 \leq t \leq n$ ,

$$i_t = \psi_t(i_{[t-1]}, \omega_{i_{[t-1]}}) \in [n] \setminus \{i_1, \dots, i_{t-1}\};$$

onde  $\psi_t$  é interpretada como a regra de decisão no tempo  $t$  ( $\psi_t$  toma, como argumentos, a localização e o valor dos bits para os primeiros  $(t - 1)$  passos do processo de indução, e, então, decide qual o próximo bit que será consultado). Aqui, note que a primeira coordenada  $i_1$  é determinística. Por fim, para  $f : \Omega \rightarrow \{0, 1\}$ , defina:

$$\tau(\omega) = \tau_{f, \mathcal{T}}(\omega) := \min\{t \geq 1 : \forall x \in \Omega, x_{i_{[t]}} = \omega_{i_{[t]}} \implies f(x) = f(\omega)\}.$$

# Desigualdade de O'Donnel-Saks-Schramm-Servedio

## Teorema 4 (Desigualdade de OSSS)

Seja  $p \in [0, 1]$  e  $n \in \mathbb{N}$ . Fixe uma função Booleana crescente  $f : \Omega \longrightarrow \{0, 1\}$  e um algoritmo  $\mathbf{T}$ ; então vale que:

$$\mathbb{V}_p(f(\omega)) \leq p(1 - p) \sum_{i \in [n]} \delta_i(\mathbf{T}) \text{Inf}_i(f(\omega)),$$

onde  $\delta_i(\mathbf{T}) = \delta_i(f, \mathbf{T}) := \mathbb{P}_p(\exists t \leq \tau(\omega) : i_t = i)$  é chamado de *revelação* de  $f$  para o algoritmo  $\mathbf{T}$  e o bit  $i$ .



# Desigualdade de O'Donnel-Saks-Schramm-Servedio

## Teorema 4 (Desigualdade de OSSS)

Seja  $p \in [0, 1]$  e  $n \in \mathbb{N}$ . Fixe uma função Booleana crescente  $f : \Omega \rightarrow \{0, 1\}$  e um algoritmo  $\mathbf{T}$ ; então vale que:

$$\mathbb{V}_p(f(\omega)) \leq p(1 - p) \sum_{i \in [n]} \delta_i(\mathbf{T}) \text{Inf}_i(f(\omega)),$$

onde  $\delta_i(\mathbf{T}) = \delta_i(f, \mathbf{T}) := \mathbb{P}_p(\exists t \leq \tau(\omega) : i_t = i)$  é chamado de *revelação* de  $f$  para o algoritmo  $\mathbf{T}$  e o bit  $i$ .

Sobre a Inequação 2, se todas as *revelações*  $\delta_i(\mathbf{T})$  forem pequenas; i.e., se existe um algoritmo que determina de forma completa  $f(\omega)$ , mas *revela* “poucos” bits, então  $(f_k)_{k \in \mathbb{N}}$  passa por *sharp threshold*.

# Aplicações em percolação Bernoulli ( $\mathbb{Z}^d$ )

Seja  $\mathbb{L}^d = (\mathbb{Z}^d, E^d)$  reticulado tal que  $\mathbb{Z}^d$  é conjunto de vértices e  $E^d = \{\langle x, y \rangle \in \mathbb{Z}^d \times \mathbb{Z}^d : \delta(x, y) = 1\}$ , onde  $\delta(x, y) = \sum_{i=1}^d |x_i - y_i|$ .

Defina  $(\Omega, \mathcal{F}, \mathbb{P}_p)$  tal que:

- $\Omega = \{0, 1\}^{|E^d|}$ ;
- $\mathcal{F} = \sigma(\text{conjuntos cilíndricos})$ ;
- $\mathbb{P}_p$  é medida produto Bernoulli  $\prod_{e \in E^d} \mu_e$ , com  $\mu_e(\omega_e = 1) = p$  e  $\mu_e(\omega_e = 0) = 1 - p$ .

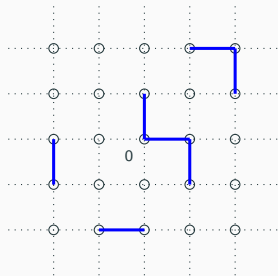
# Aplicações em percolação Bernoulli ( $\mathbb{Z}^d$ )

Seja  $\mathbb{L}^d = (\mathbb{Z}^d, E^d)$  reticulado tal que  $\mathbb{Z}^d$  é conjunto de vértices e  $E^d = \{\langle x, y \rangle \in \mathbb{Z}^d \times \mathbb{Z}^d : \delta(x, y) = 1\}$ , onde  $\delta(x, y) = \sum_{i=1}^d |x_i - y_i|$ .

Defina  $(\Omega, \mathcal{F}, \mathbb{P}_p)$  tal que:

- $\Omega = \{0, 1\}^{|E^d|}$ ;
- $\mathcal{F} = \sigma(\text{conjuntos cilíndricos})$ ;
- $\mathbb{P}_p$  é medida produto Bernoulli

$\prod_{e \in E^d} \mu_e$ , com  $\mu_e(\omega_e = 1) = p$  e  $\mu_e(\omega_e = 0) = 1 - p$ .



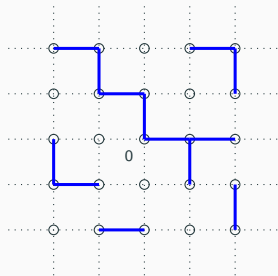
**Figura 2:**  $\omega \in \Omega$  em  $\mathbb{L}^2$  com  $p = 0.25$ .

## Aplicações em percolação Bernoulli ( $\mathbb{Z}^d$ )

Seja  $\mathbb{L}^d = (\mathbb{Z}^d, E^d)$  reticulado tal que  $\mathbb{Z}^d$  é conjunto de vértices e  $E^d = \{\langle x, y \rangle \in \mathbb{Z}^d \times \mathbb{Z}^d : \delta(x, y) = 1\}$ , onde  $\delta(x, y) = \sum_{i=1}^d |x_i - y_i|$ .

Defina  $(\Omega, \mathcal{F}, \mathbb{P}_p)$  tal que:

- $\Omega = \{0, 1\}^{|E^d|}$ ;
- $\mathcal{F} = \sigma(\text{conjuntos cilíndricos})$ ;
- $\mathbb{P}_\rho$  é medida produto Bernoulli

$$\prod_{e \in E^d} \mu_e, \text{ com } \mu_e(\omega_e = 1) = p \text{ e } \mu_e(\omega_e = 0) = 1 - p.$$


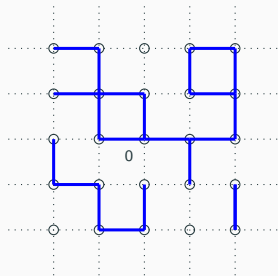
**Figura 3:**  $\omega \in \Omega$  em  $\mathbb{L}^2$  com  $p = 0.50$ .

## Aplicações em percolação Bernoulli ( $\mathbb{Z}^d$ )

Seja  $\mathbb{L}^d = (\mathbb{Z}^d, E^d)$  reticulado tal que  $\mathbb{Z}^d$  é conjunto de vértices e  $E^d = \{\langle x, y \rangle \in \mathbb{Z}^d \times \mathbb{Z}^d : \delta(x, y) = 1\}$ , onde  $\delta(x, y) = \sum_{i=1}^d |x_i - y_i|$ .

Defina  $(\Omega, \mathcal{F}, \mathbb{P}_p)$  tal que:

- $\Omega = \{0, 1\}^{|E^d|}$ ;
- $\mathcal{F} = \sigma(\text{conjuntos cilíndricos})$ ;
- $\mathbb{P}_\rho$  é medida produto Bernoulli

$$\prod_{e \in E^d} \mu_e, \text{ com } \mu_e(\omega_e = 1) = p \text{ e } \mu_e(\omega_e = 0) = 1 - p.$$


**Figura 4:**  $\omega \in \Omega$  em  $\mathbb{L}^2$  com  $p = 0.75$ .

# Aplicações em percolação Bernoulli ( $\mathbb{Z}^d$ )

Notações e definições:

- Sejam  $x, y \in \mathbb{Z}^d$ , então  $x$  está conectado a  $y$  se existe caminho de elos abertos ( $e \in E^d$  “aberto” é o mesmo que  $\omega_e = 1$ ) que conecta  $x$  a  $y$  (notação:  $x \leftrightarrow y$ ).

# Aplicações em percolação Bernoulli ( $\mathbb{Z}^d$ )

Notações e definições:

- Sejam  $x, y \in \mathbb{Z}^d$ , então  $x$  está conectado a  $y$  se existe caminho de elos abertos ( $e \in E^d$  “aberto” é o mesmo que  $\omega_e = 1$ ) que conecta  $x$  a  $y$  (notação:  $x \leftrightarrow y$ ).
- Dado  $x \in \mathbb{Z}^d$ ,  $C_x(\omega) = \{y \in \mathbb{Z}^d : x \leftrightarrow y\}$  é dito *cluster* de  $x$ . Nesse sentido,  $\{\omega \in \Omega : |C_0(\omega)| = +\infty\}$  é o evento *percolar* (notação:  $\{0 \leftrightarrow +\infty\}$ ).

# Aplicações em percolação Bernoulli ( $\mathbb{Z}^d$ )

Notações e definições:

- Sejam  $x, y \in \mathbb{Z}^d$ , então  $x$  está conectado a  $y$  se existe caminho de elos abertos ( $e \in E^d$  “aberto” é o mesmo que  $\omega_e = 1$ ) que conecta  $x$  a  $y$  (notação:  $x \leftrightarrow y$ ).
- Dado  $x \in \mathbb{Z}^d$ ,  $C_x(\omega) = \{y \in \mathbb{Z}^d : x \leftrightarrow y\}$  é dito *cluster* de  $x$ . Nesse sentido,  $\{\omega \in \Omega : |C_0(\omega)| = +\infty\}$  é o evento *percolar* (notação:  $\{0 \leftrightarrow +\infty\}$ ).
- Defina  $\theta(p) := \mathbb{P}_p(|C_0| = +\infty)$ .



# Aplicações em percolação Bernoulli ( $\mathbb{Z}^d$ )

Notações e definições:

- Sejam  $x, y \in \mathbb{Z}^d$ , então  $x$  está conectado a  $y$  se existe caminho de elos abertos ( $e \in E^d$  “aberto” é o mesmo que  $\omega_e = 1$ ) que conecta  $x$  a  $y$  (notação:  $x \leftrightarrow y$ ).
- Dado  $x \in \mathbb{Z}^d$ ,  $C_x(\omega) = \{y \in \mathbb{Z}^d : x \leftrightarrow y\}$  é dito *cluster* de  $x$ . Nesse sentido,  $\{\omega \in \Omega : |C_0(\omega)| = +\infty\}$  é o evento *percolar* (notação:  $\{0 \leftrightarrow +\infty\}$ ).
- Defina  $\theta(p) := \mathbb{P}_p(|C_0| = +\infty)$ .
- Defina  $p_c(d) := \sup\{p : \theta(p) = 0\}$ .

# Aplicações em percolação Bernoulli ( $\mathbb{Z}^d$ )

Notações e definições:

- Sejam  $x, y \in \mathbb{Z}^d$ , então  $x$  está conectado a  $y$  se existe caminho de elos abertos ( $e \in E^d$  “aberto” é o mesmo que  $\omega_e = 1$ ) que conecta  $x$  a  $y$  (notação:  $x \leftrightarrow y$ ).
- Dado  $x \in \mathbb{Z}^d$ ,  $C_x(\omega) = \{y \in \mathbb{Z}^d : x \leftrightarrow y\}$  é dito *cluster* de  $x$ . Nesse sentido,  $\{\omega \in \Omega : |C_0(\omega)| = +\infty\}$  é o evento *percolar* (notação:  $\{0 \leftrightarrow +\infty\}$ ).
- Defina  $\theta(p) := \mathbb{P}_p(|C_0| = +\infty)$ .
- Defina  $p_c(d) := \sup\{p : \theta(p) = 0\}$ .
- Para  $n, m \in \mathbb{Z}$ , defina a caixa  $R(n, m) := [0, n] \times [0, m]$  e  $\mathcal{H}(n, m) := \{\exists \text{ cruzamento horizontal em } R(n, m)\}$ .

# Ponto crítico para percolação em $\mathbb{Z}^2$

## Teorema 5 (Kesten, 1980)

O ponto crítico para percolação Bernoulli em  $\mathbb{Z}^2$  é  $\frac{1}{2}$ ; i.e.,

$$p_c(2) = \frac{1}{2}.$$

# Ponto crítico para percolação em $\mathbb{Z}^2$

## Teorema 5 (Kesten, 1980)

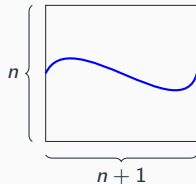
O ponto crítico para percolação Bernoulli em  $\mathbb{Z}^2$  é  $\frac{1}{2}$ ; i.e.,

$$p_c(2) = \frac{1}{2}.$$

Uma intuição desse resultado é dada por:

### Proposição 1

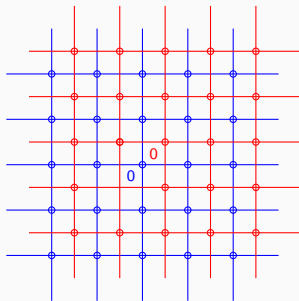
Temos que, para todo  $n \in \mathbb{N}$ ,  
 $\mathbb{P}_{\frac{1}{2}}(\mathcal{H}(n+1, n)) = \frac{1}{2}.$



**Figura 5:** Evento  $\mathcal{H}(n+1, n)$ .

# Ponto crítico para percolação em $\mathbb{Z}^2$

Seja  $(\mathbb{Z}^2)^* = \left(\frac{1}{2}, \frac{1}{2}\right) + \mathbb{Z}^2$ , defina, para  $\omega^* \in \{0, 1\}^{|(E^d)^*|}$ ,  
 $\omega_{e^*}^* := 1 - \omega_e$ .

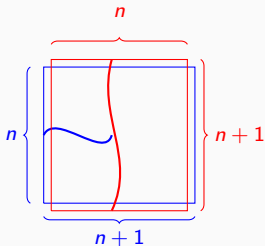


**Figura 6:** Rede dual  $(\mathbb{Z}^2)^*$  — em vermelho.

# Ponto crítico para percolação em $\mathbb{Z}^2$

Esboço da prova da Proposição 1:

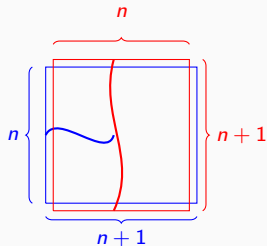
Sejam  $R = (n + 1, n)$  e  $R^* = (n, n + 1)$ ; além de  $\mathcal{H}(n + 1, n)$ , defina  $\mathcal{V}(n, n + 1)$  como o evento no qual existe cruz. vertical em  $R^*$ .



**Figura 7:** Esboço dos eventos  $\mathcal{H}(n + 1, n)^c$  e  $\mathcal{V}(n, n + 1)$ .

# Ponto crítico para percolação em $\mathbb{Z}^2$

Esboço da prova da Proposição 1:



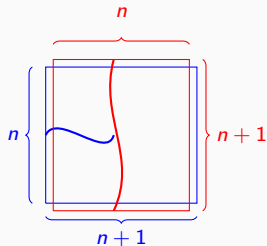
**Figura 7:** Esboço dos eventos  $\mathcal{H}(n+1, n)^c$  e  $\mathcal{V}(n, n+1)$ .

Sejam  $R = (n+1, n)$  e  $R^* = (n, n+1)$ ; além de  $\mathcal{H}(n+1, n)$ , defina  $\mathcal{V}(n, n+1)$  como o evento no qual existe cruz. vertical em  $R^*$ .

Note que  $\omega \sim \mathbb{P}_p$  e  $\omega^* \sim \mathbb{P}_{1-p}$ .

# Ponto crítico para percolação em $\mathbb{Z}^2$

Esboço da prova da Proposição 1:



**Figura 7:** Esboço dos eventos  $\mathcal{H}(n+1, n)^c$  e  $\mathcal{V}(n, n+1)$ .

Sejam  $R = (n+1, n)$  e  $R^* = (n, n+1)$ ; além de  $\mathcal{H}(n+1, n)$ , defina  $\mathcal{V}(n, n+1)$  como o evento no qual existe cruz. vertical em  $R^*$ .

Note que  $\omega \sim \mathbb{P}_p$  e  $\omega^* \sim \mathbb{P}_{1-p}$ .

Assim,

$$\begin{aligned}\mathbb{P}_{\frac{1}{2}}(\mathcal{H}(n+1, n)) &= 1 - \mathbb{P}_{\frac{1}{2}}(\mathcal{H}(n+1, n)^c) \\ &= 1 - \mathbb{P}_{\frac{1}{2}}(\mathcal{V}(n, n+1)) \\ &= 1 - \mathbb{P}_{\frac{1}{2}}(\mathcal{H}(n+1, n)) \\ \mathbb{P}_{\frac{1}{2}}(\mathcal{H}(n+1, n)) &= \frac{1}{2}.\end{aligned}$$



# Ponto crítico para percolação em $\mathbb{Z}^2$

## Teorema 6

Para qualquer  $\rho > 0$ , existe  $c = c(\rho) > 0$  tal que.  $\forall n \geq 1$ ,

$$c < \mathbb{P}_{\frac{1}{2}}(\mathcal{H}(\rho n, n)) \leq 1 - c.$$

# Ponto crítico para percolação em $\mathbb{Z}^2$

## Teorema 6

Para qualquer  $\rho > 0$ , existe  $c = c(\rho) > 0$  tal que.  $\forall n \geq 1$ ,

$$c < \mathbb{P}_{\frac{1}{2}}(\mathcal{H}(\rho n, n)) \leq 1 - c.$$

Seja  $\Lambda_n = [-n, n]^d$  caixa d-dimensional de lado  $2n$  e

$\partial\Lambda_n := \Lambda_n \setminus \Lambda_{n-1}$ ; isto é,  $\partial\Lambda_n$  é a fronteira de  $\Lambda_n$ . Então vale o seguinte resultado:

## Corolário 1

Existe  $\alpha > 0$  tal que, para todo  $n \geq 1$ ,  $\mathbb{P}_{\frac{1}{2}}(0 \leftrightarrow \partial\Lambda_n) \leq \frac{1}{n^\alpha}$ .

Em particular,  $p_c \geq \frac{1}{2}$ .

# Ponto crítico para percolação em $\mathbb{Z}^2$

## Proposição 2

Para qualquer  $p > \frac{1}{2}$ , existe  $\beta = \beta(p) > 0$  tal que,

$$\mathbb{P}_p(\mathcal{H}(2n, n)) \leq 1 - \frac{1}{\beta n^\beta}.$$

Na demonstração da Proposição 2 é possível mostrar que,  $\forall e \in E$ ,  $\text{Inf}_e(\mathbb{I}_{\mathcal{H}(2n, n)}) \leq \frac{1}{N}$ ; o que, pelo Teorema 3, nos dá o resultado.

# Ponto crítico para percolação em $\mathbb{Z}^2$

## Proposição 2

Para qualquer  $p > \frac{1}{2}$ , existe  $\beta = \beta(p) > 0$  tal que,

$$\mathbb{P}_p(\mathcal{H}(2n, n)) \leq 1 - \frac{1}{\beta n^\beta}.$$

Na demonstração da Proposição 2 é possível mostrar que,  $\forall e \in E$ ,  $\text{Inf}_e(\mathbb{I}_{\mathcal{H}(2n, n)}) \leq \frac{1}{N}$ ; o que, pelo Teorema 3, nos dá o resultado.

Por fim, para terminar a prova do Teorema 5, basta olhar para os eventos  $\mathcal{H}(2^{n+1}, 2^n)$  e  $\mathcal{V}(2^n, 2^{n+1})$ . Nesse caso, pela Proposição 2,  $\sum_{n=1}^{+\infty} \mathbb{P}_p(\mathcal{H}(2^{n+1}, 2^n)^c) \leq \frac{1}{\beta} \sum_{n=1}^{+\infty} \frac{1}{2^{\beta n}}$ . Por Borel-Cantelli e simetria dos eventos  $\mathcal{H}(2^{n+1}, 2^n)$  e  $\mathcal{V}(2^n, 2^{n+1})$ , o resultado segue.

# Sharpness da transição de fase para percolação Bernoulli em $\mathbb{Z}^d$

## Teorema 7

Para percolação Bernoulli em  $\mathbb{Z}^d$ ,

1. Para  $p < p_c$ , existe  $c_p > 0$  tal que, para todo  $n \geq 1$ ,  
$$\mathbb{P}_p(0 \leftrightarrow \partial\Lambda_n) \leq e^{-c_p n}.$$
2. (Mean Field Lower Bound) Existe  $c > 0$  tal que  $p > p_c$ ,  
$$\mathbb{P}_p(0 \leftrightarrow +\infty) \geq c(p - p_c).$$

# Sharpness da transição de fase para percolação Bernoulli em $\mathbb{Z}^d$

## Teorema 7

Para percolação Bernoulli em  $\mathbb{Z}^d$ ,

1. Para  $p < p_c$ , existe  $c_p > 0$  tal que, para todo  $n \geq 1$ ,  
$$\mathbb{P}_p(0 \leftrightarrow \partial\Lambda_n) \leq e^{-c_p n}.$$
2. (Mean Field Lower Bound) Existe  $c > 0$  tal que  $p > p_c$ ,  
$$\mathbb{P}_p(0 \leftrightarrow +\infty) \geq c(p - p_c).$$

Observação:

A demonstração do Teorema 7 vem da escolha de um algoritmo  $\mathbf{T}$  apropriado, para que, então, seja possível aplicar o Teorema 4 (Desigualdade de OSSS).

# Referências



Hugo Duminil-Copin.

**Sharp Threshold Phenomena in Statistical Physics.**

*Japanese Journal of Mathematics*, 14(1):1–25, 2019.